

## · 病例报告 ·

# 复发性上段颈椎脊索瘤一例

王兴文 王作伟 袁庆国

【关键词】 脊索瘤； 颈椎； 复发； 神经外科手术； 病例报告

【Key words】 Chordoma; Cervical vertebrae; Recurrence; Neurosurgical procedures; Case reports

## Recurrent upper cervical chordoma: one case report

WANG Xing-wen, WANG Zuo-wei, YUAN Qing-guo

Department of Neurosurgery, Beijing Hospital, Beijing 100730, China

Corresponding author: WANG Xing-wen (Email: wang13701166672@163.com)

患者 男性,58岁,主因颈部疼痛3个月,于2009年2月10日入院。患者3个月前无明显诱因出现颈部疼痛,以左后侧显著,呈持续性钝痛,转头时加重、休息后缓解,同时伴转头活动受限,于当地医院行颈椎CT和MRI检查证实上段颈椎占位性病变(图1)。遂行病变组织穿刺活检术,术后病理学检查证实为脊索瘤。为求进一步手术治疗至我院就诊。患者自发病以来精神、睡眠好,饮食正常,大小便正常,体重无明显变化。既往史、个人史和家族史均无特殊。入院后体格检查:神志清楚,语言流利,脑神经检查未见明显异常,颈部强迫体位,上肢外形和活动度无异常,四肢肌力和肌张力正常,腱反射正常、位置觉和痛温觉正常。左侧下颌角触及皮下肿物,圆形、质地较硬、不能活动、触之无疼痛。数字减影血管造影术(DSA)和球囊闭塞试验(BOT)显示,左侧椎动脉被肿瘤推向外侧,管径通畅,右侧椎动脉代偿良好(图2)。遂行颈部肿瘤全切除术。患者右侧卧位,头架固定,气管插管全身麻醉,采取侧方入路,手术切口自左侧乳突沿胸锁乳突肌后缘斜向下至C<sub>5</sub>水平,长度约10cm,逐层切开皮肤和皮下组织,分离胸锁乳突肌和头夹肌,显露肿瘤包膜,肿瘤体积大小约6.00cm×4.50cm×4.20cm,呈灰白色、质地柔软、血运中等,肿瘤破坏枢椎(C<sub>2</sub>)椎体和横突,于手术显微镜下包膜内分块

全切除肿瘤,术中左侧椎动脉破裂,予电凝切断后结扎;然后植入左侧寰椎(C<sub>1</sub>)侧块螺钉和C<sub>3</sub>椎弓根螺钉各1枚,钛棒连接,电钻磨薄C<sub>1</sub>后弓和C<sub>3</sub>椎板,于C<sub>1</sub>后弓、C<sub>3</sub>椎板、钛棒和螺钉周围植入人工骨(山西奥瑞生物材料有限公司);留置引流管,术后24h拔除;逐层关闭手术切口,行间断缝合。术后临床症状消失,恢复良好,无手术相关并发症。患者共住院14d,出院时自觉颈部疼痛明显缓解,活动自如,四肢肌力同术前。术后6个月随访时复查颈椎CT显示螺钉位置和植骨生长良好,肿瘤无复发迹象(图3)。随访至术后3年(2012年8月)患者出现颈部疼痛伴吞咽不适,复查颈椎MRI显示肿瘤复发,咽后壁受累,脊髓受压(图4)。患者拒绝再次手术,予伊马替尼(imatinib)400mg/d口服,共治疗2个月,同时将<sup>125</sup>I粒子植入肿瘤内行放射治疗(于外院植入<sup>125</sup>I粒子2次,具体剂量不详),带瘤生存,生活自理。随访至术后6年(2015年12月),患者因呼吸困难合并肺部感染死亡。

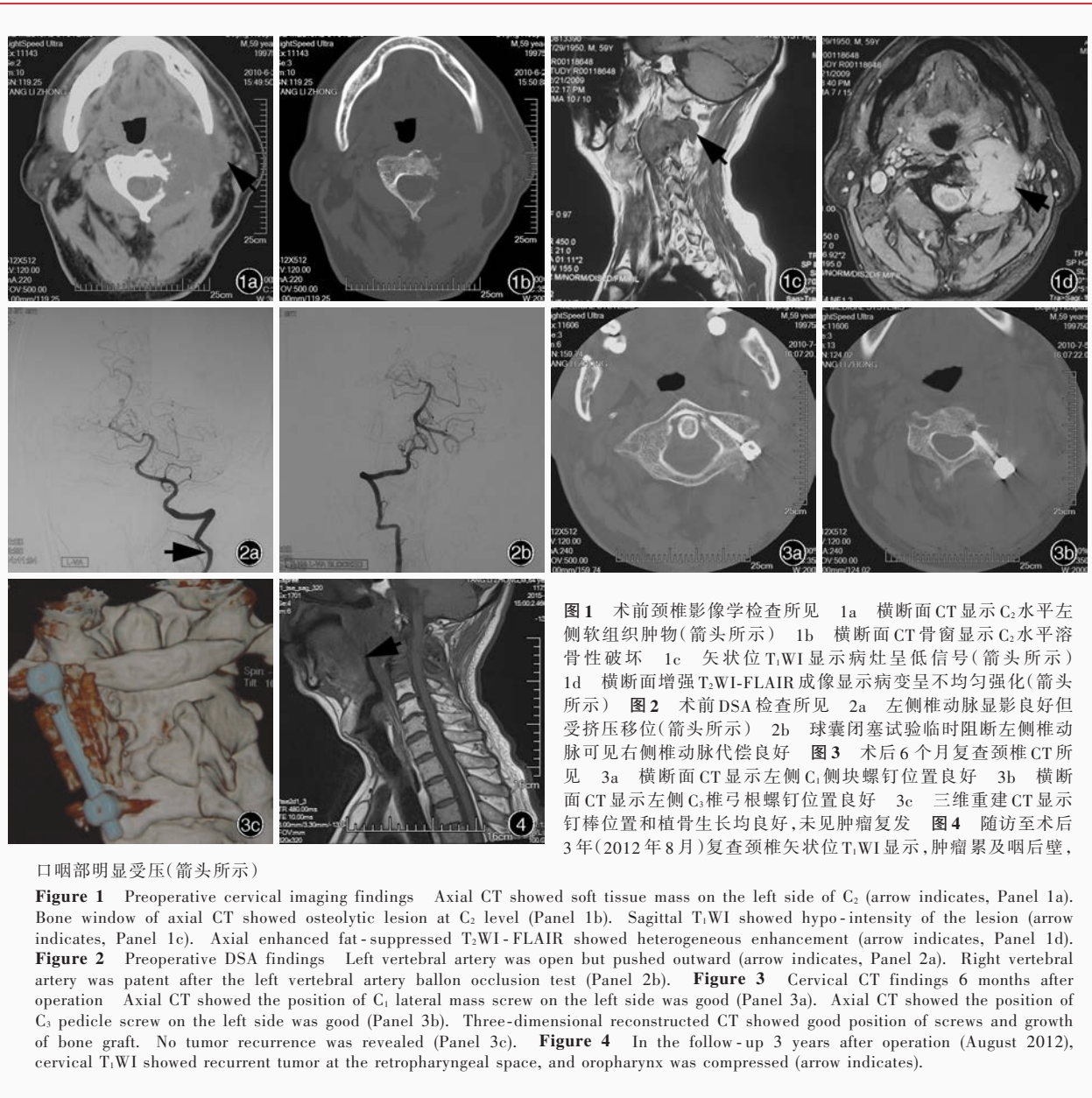
## 讨 论

脊索瘤是临床少见的骨组织恶性肿瘤,源自残留的胚胎脊索组织,好发于颅底、脊柱和骶尾部等中轴骨。肿瘤恶性程度相对较低,生长缓慢,但常侵及周围组织,且发生部位较为特殊,故手术全切除较为困难,而传统放射治疗和药物化疗效果不佳,具有极高的复发率<sup>[1]</sup>。有文献报道,患者5年生存率为50%~60%<sup>[2]</sup>。发生于颈椎的脊索瘤相对少见,约占脊柱脊索瘤的10%。由于肿瘤周围毗邻气管、食道和颈内动脉等重要结构,肿瘤压迫可引起

doi:10.3969/j.issn.1672-6731.2016.03.008

作者单位:100730 北京医院神经外科[王兴文(现在首都医科大学宣武医院神经外科,邮政编码:100053)]

通讯作者:王兴文(E-mail:wang13701166672@163.com)



**图1**术前颈椎影像学检查所见 1a 横断面CT显示C<sub>2</sub>水平左侧软组织肿物(箭头所示) 1b 横断面CT骨窗显示C<sub>2</sub>水平溶骨性破坏 1c 矢状位T<sub>1</sub>WI显示病灶呈低信号(箭头所示) 1d 横断面增强T<sub>2</sub>WI-FLAIR成像显示病变呈不均匀强化(箭头所示) **图2**术前DSA检查所见 2a 左侧椎动脉显影良好但受挤压移位(箭头所示) 2b 球囊闭塞试验临时阻断左侧椎动脉可见右侧椎动脉代偿良好 **图3**术后6个月复查颈椎CT所见 3a 横断面CT显示左侧C<sub>1</sub>侧块螺钉位置良好 3b 横断面CT显示左侧C<sub>3</sub>椎弓根螺钉位置良好 3c 三维重建CT显示钉棒位置和植骨生长均良好,未见肿瘤复发 **图4**随访至术后3年(2012年8月)复查颈椎矢状位T<sub>1</sub>WI显示,肿瘤累及咽后壁,

颈部疼痛、咽喉部异物感、吞咽困难等,肿瘤压迫脊髓可出现神经功能缺损<sup>[3]</sup>。

CT和MRI是目前诊断脊索瘤的主要手段。CT表现为脊柱溶骨性破坏,周围软组织占位性病变。MRI呈T<sub>1</sub>WI低信号、T<sub>2</sub>WI高信号,病变呈分叶状,其内可见不规则分隔,边界清楚;增强扫描呈轻至中度不均匀强化。典型脊索瘤可呈现“蜂房征”,反映脊索瘤内较多黏液样基质和肿瘤细胞空泡样改变。

对于任何部位的脊索瘤,目前较为公认的治疗方法是整体综合治疗(包括手术和术后放射治疗联合药物化疗)<sup>[1,4-5]</sup>。手术根治性切除仍在综合治疗中占首要地位,首次手术切除程度决定肿瘤复发速

度和患者生存期。Sundaresan等<sup>[6]</sup>回顾分析54例脊柱脊索瘤患者的临床资料发现,约90%行部分切除术的患者术后2年内肿瘤复发。由于颈椎解剖学结构特殊,肿瘤全切除常存在较大技术挑战,如椎动脉显露、神经根保护、脊柱稳定性重建等。由于肿瘤对椎体的溶骨性破坏,需采用钉棒系统进行脊椎稳定性重建<sup>[3-4]</sup>。该例患者肿瘤挤压椎动脉,使其失去正常解剖学结构而于术中误伤,因此,术前采用DSA评价椎动脉走行或代偿情况对手术成功有重大帮助。若肿瘤全切除困难,手术目的则是解除肿瘤对脊髓和重要结构的压迫、缩小肿瘤体积,为后续放射治疗奠定基础;对于无法或不能耐受手术的

患者,可于病变组织活检术后直接行放射治疗。

一般认为,脊索瘤对传统放射治疗不敏感,最新研究显示,相对于传统的光子放射治疗,碳离子或质子放射治疗可将较大放射剂量控制在肿瘤局部,从而很好地控制局部复发,延长患者总生存期,并通过将放射剂量分割的方法以减少放射治疗的毒性反应<sup>[7-9]</sup>。但是,由于此种放射治疗方式费用昂贵,目前在我国难以全面开展。

迄今尚无化疗药物获批准用于复发进展后的脊索瘤。目前临床应用的药物多为临床试验阶段或尝试性应用,如伊马替尼、拉帕替尼(lapatinib)等,但前期临床试验显示,分子靶向治疗在延缓脊索瘤生长方面取得了令人振奋的成果,有望成为治疗脊索瘤的有效方法<sup>[1,10]</sup>。

#### 参 考 文 献

- [1] Bai JW, Wang S, Shen M, Gui SB, Li CZ, Du J, Zhang HB, Yang XH, Zhang YZ. The interpretation of global expert consensus on chordoma (skullbase part). Zhonghua Shen Jing Wai Ke Za Zhi, 2015, 31:1173-1175. [白吉伟, 王帅, 沈宓, 桂松柏, 李储忠, 杜江, 张红波, 杨晓红, 张亚卓. 脊索瘤全球专家共识(颅底部分)的解读与探讨. 中华神经外科杂志, 2015, 31:1173-1175.]
- [2] Aguiar Júnior S, Andrade WP, Baioocchi G, Guimarães GC, Cunha IW, Estrada DA, Suzuki SH, Kowalski LP, Lopes A. Natural history and surgical treatment of chordoma: a retrospective cohort study. Sao Paulo Med J, 2014, 132:297-302.
- [3] Zhou H, Jiang L, Wei F, Yu M, Wu F, Liu X, Liu Z, Dang G. Chordomas of the upper cervical spine: clinical characteristics and surgical management of a series of 21 patients. Chin Med J (Engl), 2014, 127:2759-2764.
- [4] Ortega-Porcayo LA, Cabrera-Aldana EE, Arriada-Mendicoa N, Gomez - Amador JL, Granados - Garcia M, Barges - Coll J. Operative technique for en bloc resection of upper cervical chordomas: extended transoral transmandibular approach and multilevel reconstruction. Asian Spine J, 2014, 8:820-826.
- [5] Ropper AE, Cahill KS, Hanna JW, McCarthy EF, Gokaslan ZL, Chi JH. Primary vertebral tumors: a review of epidemiologic, histological and imaging findings. Part II: locally aggressive and malignant tumors. Neurosurgery, 2012, 70:211-219.
- [6] Sundaresan N, Huvos AG, Krol G, Lane JM, Brennan M. Surgical treatment of spinal chordomas. Arch Surg, 1987, 122: 1479-1482.
- [7] Chen JS, Yang YX, Hu XH, Chen Q, Yu L. Preliminary analysis of proton radiation therapy for chordomas in the skull base. Zhonghua Shen Jing Yi Xue Za Zhi, 2012, 11:895-898. [陈继锁, 杨玉霞, 胡祥华, 陈庆, 于雷. 质子照射治疗颅底脊索瘤疗效初探. 中华神经医学杂志, 2012, 11:895-898.]
- [8] Dong JH, Wang J, Sui AX, Zhao J, Zhang HT, Ren JN. Radioactive <sup>125</sup>I seed implantation for the treatment of recurrent chordoma: one case report. Zhonghua Fang She Yi Xue Yu Fang Hu Za Zhi, 2012, 32:80-81. [董金红, 王娟, 隋爱霞, 赵静, 张宏涛, 任菊娜. 放射性<sup>125</sup>I粒子植入治疗复发性脊索瘤一例. 中华放射医学与防护杂志, 2012, 32:80-81.]
- [9] Chen YL, Liebsch N, Kobayashi W, Goldberg S, Kirsch D, Calkins G, Childs S, Schwab J, Hornicek F, DeLaney T. Definitive high-dose photon/proton radiotherapy for unresected mobile spine and sacral chordomas. Spine (Phila Pa 1976), 2013, 38:E930-936.
- [10] Ahmed R, Sheybani A, Menezes AH, Buatti JM, Hitchon PW. Disease outcomes for skull base and spinal chordomas: a single center experience. Clin Neurol Neurosurg, 2015, 130:67-73.

(收稿日期:2016-02-12)

#### *Neuropsychological Formulation: A Clinical Casebook published*

*Neuropsychological Formulation: A Clinical Casebook* (ISBN: 978-3-319-18337-4, eBook ISBN: 978-3-319-18338-1) was published by Springer International Publishing. The editor of this book is Jamie A.B. Macniven.

This forward-looking book defines and illustrates the process and themes of formulation in neuropsychology and places it in the vanguard of current practice. The book explains the types of information that go into formulations, how they are gathered, and how they are synthesized into a clinically useful presentation describing psychological conditions resulting from neurological illness or injury. Cases highlight the relevance and flexibility of narrative- and diagram-based formulation methods in approaching a diverse range of issues and conditions, from decisional capacity to cultural considerations, Huntington's disease to deep dyslexia. Throughout this volume, formulation is shown as integral to treatment and rehabilitation planning alongside clinical assessment, cognitive testing, and diagnosis. Neuropsychologists, clinical psychologists and rehabilitation specialists will find Neuropsychological Formulation of critical importance not only to the literature of the field, but also to the developing role of clinical neuropsychology within healthcare systems.

The price of eBook is 83.29€, and hardcover is 99.99€. Visit [link.springer.com](http://link.springer.com) for more information.